

## Effects of Remelting on the Microstructure and Absorption/Desorption Characteristics of MmNi<sub>4.8</sub>Al<sub>0.2</sub> Hydrogen Storage Alloy

Mohammad judaki<sup>1</sup>, \*Masumeh seifollahi<sup>2</sup>, Seyed Mahdi Abbasi<sup>3</sup>, Seyed Mahdi Ghazi Mir Saeed<sup>4</sup>

1- M.Sc. Researcher, Faculty of Materials & Manufacturing Technologies, Malek Ashar University of Technology, Tehran, Iran.

2- Assistant professor, Faculty of Materials & Manufacturing Technologies, Malek Ashar University of Technology, Tehran, Iran.

3- Professor, Faculty of Materials & Manufacturing Technologies, Malek Ashar University of Technology, Tehran, Iran.

4- M.Sc. Researcher, Faculty of Materials & Manufacturing Technologies, Malek Ashar University of Technology, Tehran, Iran.

**Citation:** judaki M, seifollahi M, Abbasi S.M, Ghazi Mir Saeed S.M. Effects of Remelting on the Microstructure and Absorption/Desorption Characteristics of MmNi<sub>4.8</sub>Al<sub>0.2</sub> Hydrogen Storage Alloy. Metallurgical Engineering 2020; 23(2): 131-141 <http://dx.doi.org/10.22076/me.2020.132156.1294>

**doi :** <http://dx.doi.org/10.22076/me.2020.132156.1294>

### ABSTRACT

In this article, the effects of VIM and VAR remelting processes are investigated on the microstructure and absorption/desorption characteristics of MmNi<sub>4.8</sub>Al<sub>0.2</sub> hydrogen storage alloy. The main alloy prepared in a Vacuum induction furnace and remelted in VIM and VAR. The microstructures and phases were analyzed with SEM and XRD. Hydrogen absorption/desorption characteristics is performed on Sievert apparatus. The results showed that the microstructure is consisting of matrix, second phase as a result of Al segregation, porosities and cracks. The second phases in the main alloy and VAR remelted have low content of La and Ce. This phase is solutionized or decreased to low level in VIM remelted alloy. Remelting, also, declined the absorption pressure to 21.55 and 18.17 bar and the desorption pressure to 7.13 and 5.49 bar in VAR and VIM remelted alloy, but increased the hydrogen storage capacity increased to 1.42 and 1.46 wt% respectively. The more the homogeneity degree, the less the absorption/desorption pressure and the more the hydrogen storage capacity.

**Keywords:** Hydrogen Storage, MmNi<sub>4.8</sub>Al<sub>0.2</sub> Alloy, VIM and VAR Remelting, PCT curves, microstructure.

Received: 5 August 2020

Accepted: 29 November 2020

\* Corresponding Author:

Masumeh Seifollahi, PhD

Address: Metallic Materials Research Center, Faculty of Materials & Manufacturing Technologies, Malek Ashar University of Technology, Tehran, Iran.

Tel: +98 (21) 22936494

E-mail: m\_seifollahi@mut.ac.ir

اثر فرآیند ذوب مجدد بر ریز ساختار و مشخصه جذب و اجذب آلیاژ جاذب هیدروژن  $MmNi_{4.8}Al_{0.2}$

<sup>۴</sup> محمد جود کی<sup>۱</sup>، معصومہ سیف اللہی<sup>۲</sup>، سید مهدی عباسی<sup>۳</sup>، سید مهدی قاضی میر سعید<sup>۴</sup>

- محقق، کارشناس ارشد متالورژی مهندسی مواد و متالورژی، مجتمع دانشگاهی ساخت، دانشگاه صنعتی مالک اشتر، تهران، ایران.
  - استادیار، مهندسی مواد و متالورژی؛ مجتمع دانشگاهی مواد و فناوریهای ساخت، دانشگاه صنعتی مالک اشتر، تهران، ایران.
  - استاد، مهندسی مواد و متالورژی؛ مجتمع دانشگاهی مواد و فناوریهای ساخت، دانشگاه صنعتی مالک اشتر، تهران، ایران.
  - محقق، کارشناس ارشد متالورژی مهندسی مواد و متالورژی، مجتمع دانشگاهی ساخت، دانشگاه صنعتی مالک اشتر، تهران، ایران.

چکیدہ

در این پژوهش، اثر فاین دوب مجدد VAR و VIM آلیاز جاذب هیدروژن MmNi<sub>4.8</sub>Al<sub>0.2</sub> بر ریزاسخاتر و مشخصه‌های جذب و واخذب هیدروژن بررسی شد. آلیاز اولیه به روش ذوب القایی تحت خلاً تهیه و نوسط فرآیندهای VIM و VAR ذوب مجدد شدند. آنالیز ریزاسخاتری و فازی توسط SEM و XRD انجام و مشخصه‌های جذب و واخذب با آزمون سیورت ارزیابی شد. ریزاسخاتر شامل فاز زمینه، فاز دوم در اثر جدایش Al، تخلخل و ترک است. فاز دوم در آلیاز اولیه و آلیاز ذوب مجدد شده در VAR، مقدار ناچیزی از عناصر Ca و Ce را دارد و فاز دوم در آلیاز ذوب مجدد شده در فاز زمینه حل شده و یا به مقدار بسیار ناچیزی کاهش پیدا کرده است. همچنین ذوب مجدد، فشار جذب را در آلیاز ذوب مجدد شده به روش VIM بفرستن از مقدار VAR و VIM بهتر ترتیب از مقدار  $7/28$  به  $7/13$  و  $5/49$  bar، فشار واخذب را به ترتیب از مقدار  $22/86$  به  $21/55$  و  $18/17$  bar کاهش و میزان ذخیره‌سازی هیدروژن را  $41/4$  به  $1/42$  و  $1/46$  wt % افزایش داده است. نتایج نشان داد که هر چه میزان همگنی ترکیب بیشتر می‌شود، یا به عبارت دیگر هرچه میزان فاز دوم کاهش پیدا می‌کند، فشار جذب و واخذب کمتر شده و ظرفیت ذخیره‌سازی بیشتر می‌شود.

**واژه‌های کلیدی:** ذخیره‌سازی هیدروژن، آلیاژ  $MmNi_{4.8}Al_{0.2}$ ، نمودارهای VAR و VIM، برسی‌های ریزاساختاری.

دربافت: ۱۳۹۹/۰۵/۱۵ | پذیرش: ۹/۹/۹۹

## ۱. مقدمه

هیدروژن جایگزین مناسبی برای سوختهای فسیلی محسوب می‌شود ولی ذخیره و حمل آن به صورت گاز فشرده و یا مایع سرد، هزینه و خطرات بالایی دارد. به همین دلیل دانشمندان به دنبال یک روش جدید برای ذخیره‌سازی هیدروژن هستند [۱]. آلیاژهای هیدرید فلزی به سبب اینمی بالا، عدم نشت و هزینه‌ی کمتر، نماینده خوبی برای ذخیره‌سازی هیدروژن می‌باشند [۲].  $MmNi_5$  از آلیاژهای جاذب هیدروژن بوده که علاوه بر ظرفیت جذب مناسب به سادگی فعال می‌گردد [۳].  $MmNi_5$  میزان جذب و واجدب تقریباً برابر با ترکیب  $LaNi_5$  را دارد و جایگزینی  $Ni$  با عنصر  $Al$ ، منجر به افزایش حجم سلول واحد، کاهش فشار فلاتی<sup>۱</sup> و افزایش پایداری هیدریدها می‌شود [۴].

## ..... شـهـاـيـ مـخـتـلـفـيـ

\* نویسنده مسئول:  
دکتر معصومه سیف‌الا

دکتر معصومہ سیف اللہی

نشانی: تهران، لویزان، دانشگاه صنعتی مالک اشتر، مجتمع دانشگاهی مواد و فناوریهای ساخت، پژوهشکده مواد فلزی.

تلفن: +٩٨ (٢١) ٢٢٩٣٦٤٩٤

پست الکترونیکی: m\_seifollahi@mut.ac.ir

جدول ۱. درصد وزنی عناصر آلیاژهای  $MmNi_{0.2}Al_{4.8}$  ذوب مجدد شده به روش VIM و VAR.

نام اختصاری	روش ذوب	درصد اتمی	Ni	Ce	La	Al
AI-VIM	ذوب مجدد به روش VIM	درصد وزنی	۶۵/۳	۲۰/۵	۱۳	۱/۲
	ذوب مجدد به روش VAR	درصد اتمی	۷۹/۶۴	۱۰/۴۷	۶/۷۰	۳/۱۸
AI-VAR	ذوب مجدد به روش VIM	درصد وزنی	۶۴/۳	۲۱/۳	۱۳/۱	۱/۳
	ذوب مجدد به روش VAR	درصد اتمی	۷۸/۸۱	۱۰/۹۴	۶/۷۸	۳/۴۷
AI-VIM2	ذوب مجدد به روش VIM	درصد وزنی	۶۵/۷	۲۰/۳	۱۳/۰	۱/۰
	ذوب مجدد به روش VAR	درصد اتمی	۸۰/۲۵	۱۰/۳۹	۶/۷۱	۲/۶۶

دوروش VIM و VAR (مستقر در دانشگاه صنعتی مالک اشتر) مجدداً ذوب شدند. شمش تهیه شده به وزن ۵ کیلوگرم به روش VIM پس از جوش دادن به الکترود VAR درون کوره VAR ذوب مجدد شد. جهت بررسی ذوب مجدد VIM، نمونه پس از قرار گرفتن در بوته آلومینایی درون کوره VIM ذوب مجدد گردید.

برای اختصار آلیاژ اولیه ذوب شده به روش VIM با نام اختصاری AI-VIM، آلیاژ ذوب مجدد شده به روش VAR با نام اختصاری AI-VAR و آلیاژ ذوب مجدد شده به روش VIM با نام اختصاری AI-VIM2 نشان داده شده است. درصد وزنی و اتمی عناصر آلیاژها با استفاده از تحلیل EDX در جدول ۱ نشان داده شده است، که تایید کننده تشکیل آلیاژها با فرمول ساختاری می‌باشد.

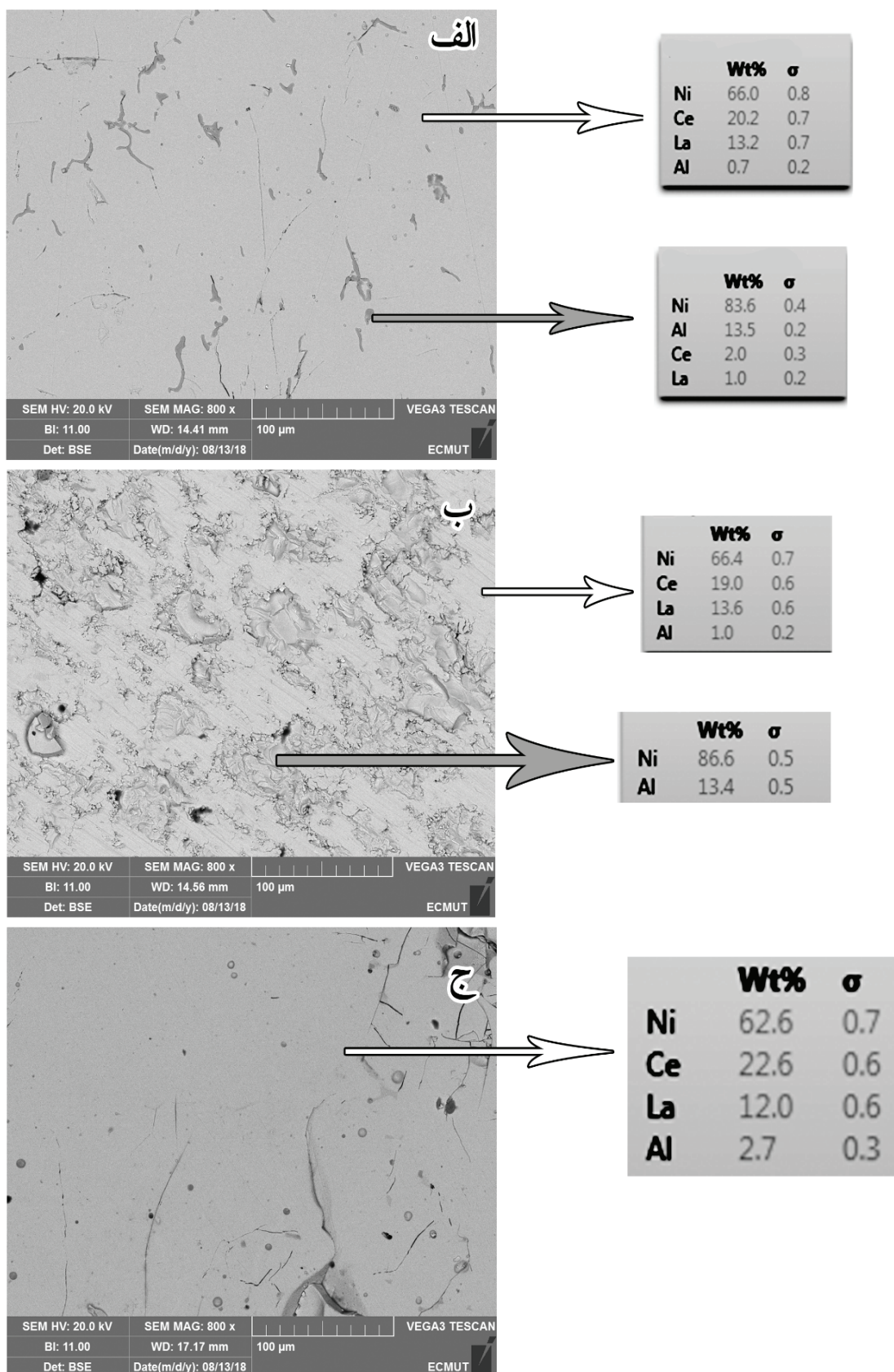
برای بررسی‌های ریزساختاری، نمونه‌ها توسط محلول اسیداستیک و اسید نیتریک (۵۰:۵۰ درصد حجمی) به مدت ۸ ثانیه اج شدند. سپس برای مشاهده ریزساختار و فاز دوم از میکروسکوپ نوری<sup>۵</sup> (OM) مدل OLYMPUS BX51 استفاده گردید و برای شناسایی فاز دوم، بررسی مورفولوژی و درصد عناصر سازنده به‌وسیله میکروسکوپ الکترونی روبشی (SEM) (EDX، ECMUT VEGA3 TESCAN ECMUT VEGA3 TESCAN) مجهز به آنالیز عنصری و همچنین نقشه توزیع عناصر<sup>۶</sup> (MAP) تهیه شد. جهت آنالیز فازی نمونه‌ها از آنالیز تفرق اشعه ایکس به‌وسیله دستگاه INEL Equinox 6000 با لامپ مس (Kα = ۱/۵۴ nm)، گام ۰/۰۵ درجه، محدوده ۰-۱۰۰ درجه، دمای محیط و ولتاژ ۴۰ kV استفاده شد.

مشخصه‌های هیدرروژنی آلیاژها با استفاده از دستگاه سیورت (ساخته شده در دانشگاه صنعتی مالک اشتر) که مبتنی بر اندازه گیری حجمی است، در دمای محیط اندازه گیری شد. فرآیند گاز زدایی و فعالسازی نمونه‌ها تحت شرایط خلا ۱۰<sup>-۵</sup> bar در مدت زمان ۱ ساعت تا دمای ۴۵۰ درجه سانتیگراد به مدت ۴ ساعت (انجام شد (فعالسازی و گاز زدایی با گاز هیدرروژن با خلوص ۹۹/۹۹۹۹ درصد وزنی انجام شد. گاز وارد محفظه شده و ژس از یک ساعت محفظه خلا می‌گردد). برای انجام آزمایش‌های جذب و واجدب، نمونه‌ها در معرض گاز هیدرروژن با خلوص ۹۹/۹۹۹۹ درصد وزنی

تمیزتر هستند. کنترل عناصر آلیاژی در این روش خیلی دقیق و تولید پرهزینه است. در این روش آلیاژ با یکبار ذوب می‌تواند به همگنی ساختاری نسبتاً مطلوبی دست پیدا کند [۷]. در صورتی که روش VAR به تنها یکی مورد استفاده قرار گیرد، برای تولید هیدریدهای همگن باید حداقل ۲ بار آلیاژ را ذوب مجدد کرد تا آلیاژی همگن حاصل شود. همچنین با توجه به سرعت سرمایش بالا در روش VAR، این روش می‌تواند در کاهش جدایش‌های آلیاژی نیز مفید باشد [۸]؛ در نتیجه منجر به همگن تر شدن آلیاژ و کاهش فشار فلاتی (مسطح) شود [۹]. یوانگ و همکاران [۱۰] در آلیاژ جاذب هیدرروژن بر پایه TiZr نشان دادند که ذوب مجدد با روش VAR، روی آلیاژهای تولید شده بوسیله VIM، موجب همگن تر شدن ریزساختار و کاهش فشار فلاتی می‌شود؛ اما ظرفیت جذب تعییری نمی‌کند. در تحقیقات دیگر [۱۱ و ۱۲] با مطالعه اثر روش انجماد سریع ذوب اسپینی، گزارش شده است که انجماد سریع منجر به ایجاد ریزساختاری شده که افزایش پایداری سیکلی و کاهش فشار فلاتی را در بی دارد. در اکثر مقالات روش VAR به عنوان روش ذوب اولیه و به دفعات بالا به کار برده شده است و کمتر تحقیقی اثر ذوب مجدد به هر دو روش VIM و VAR را روی خواص هیدرروژنی آلیاژهای جاذب هیدرروژن به صورت دقیق و کامل بررسی کرده است. لذا هدف از این پژوهش، بررسی اثر فرآیند ذوب مجدد در VIM و VAR بر ریزساختار و خواص هیدرروژنی آلیاژ جاذب هیدرروژن MmNi<sub>0.2</sub>Al<sub>4.8</sub> است.

## ۲. مواد و روش تحقیق

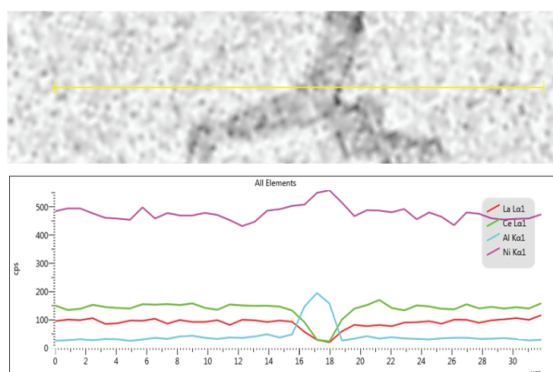
آلیاژ اولیه MmNi<sub>0.2</sub>Al<sub>4.8</sub> با دمای ذوب تقریبی ۱۴۰۰ درجه سانتیگراد، در کوره ذوب القایی تحت خلا (۱۰×۲ mbar)<sup>۷</sup> مسثمر در دانشگاه صنعتی مالک اشتر و بوته‌های آلومینایی ذوب و در قالب فلزی به ابعاد ۱۰×۸×۶ سانتی متر ریخته گردید. میش مثال با ترکیب 60Ce-40La درصد وزنی، به همراه نیکل با خلوص ۹۹/۹ درصد وزنی درون بوته ریخته شد. پس از ذوب، آلومینیوم با خلوص ۹۹/۹۵ درصد وزنی به مذاب افروده شد. جهت بررسی ذوب مجدد، آلیاژ بدست آمده به



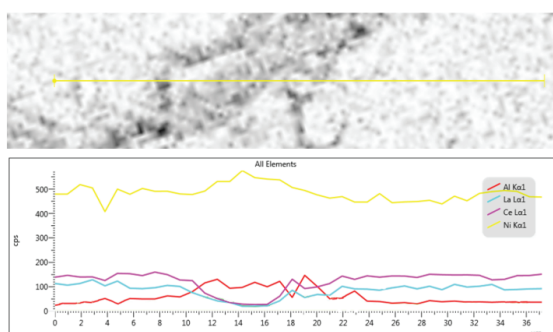
شکل ۱. تصویرالکترون برگشتی ریزساختار آلیاژهای الف: Al-VIM2 (فلش سفید); ب: نشاندهنده درصد وزنی فاز زمینه (فلش خاکستری): نشاندهنده درصد وزنی فاز دوم

جابجایی پیک در اثر افزایش فاصله صفحات ناشی از افزایش و کاهش Al در فاز زمینه نیز پیش از این توسط کومار [۱۵] گزارش شده بود. این نکته قابل ذکر است که فاز دوم با توجه به تصاویر الکترون برگشتی و EDX در شکل ۱ تشکیل شده است، اما بر اساس نتایج پراش اشعه ایکس، آلیاژها تک‌فاز هستند، بنابراین می‌توان نتیجه گرفت که فاز دوم کمتر از میزان خطای دستگاه پراش اشعه ایکس (یعنی ۵ درصد) در آلیاژها بوجود آمده است و می‌توان آلیاژها را همگن و تک‌فاز در نظر گرفت. مقادیر پارامتر شبکه و حجم سلول واحد برای هر سه آلیاژ محاسبه شده که با توجه به خطای آزمایش، این مقدار تقریباً بدون تغییر مشاهده شد. این مقادیر برای پارامترهای (Å)، (a)، (c) و (A) به ترتیب عبارتند از: ۰.۸۳/۱۲۲۰، ۴/۹۰۵۸ و ۳/۹۸۸۰.

یکی دیگر از مواردی که در ریزساختار مشاهده می‌شود، تخلخل و ترک است. تخلخل‌ها و ترک‌ها به علت ماهیت ترد آلیاژ و فرآیند تولید آنها در ساختار بوجود آمده‌است. تا حدی که شمش حاصله به راحتی توسط دست خورد می‌شود. با توجه به اینکه این آلیاژها به صورت پودر به کار روند، این مسئله مم نیست. علاوه بر این، ترک‌ها نواحی مناسبی برای نفوذ هیدروژن هستند که در فرآیند فعال سازی و شروع جذب و واجدب مؤثر بوده و آن را تسهیل می‌کند [۱۶].



الف



ب

شکل ۲. آنالیز خطی از فاز دوم آلیاژ  $MmNi_{4.8}Al_{0.2}$  (الف) ذوب شده به روش VIM و (ب) ذوب مجدد شده به روش VAR

قرار داده می‌شدن و فرآیند جذب انجام می‌شد و پس از اتمام مراحل جذب، نمونه‌ها تحت خلاً قرار می‌گرفتند و فرآیند واجدب کامل می‌شد. در ادامه منحنی‌های همدماهی فشار – ترکیب‌دمای (PCT) بر اساس داده‌ها رسم و مقادیر فشار جذب و واجدب و اثر پسماند<sup>۳</sup> بر اساس معادله ۱ محاسبه شد [۱۳].

معادله (۱)

$$H_f = \ln\left(\frac{P_{abs}}{P_{des}}\right)$$

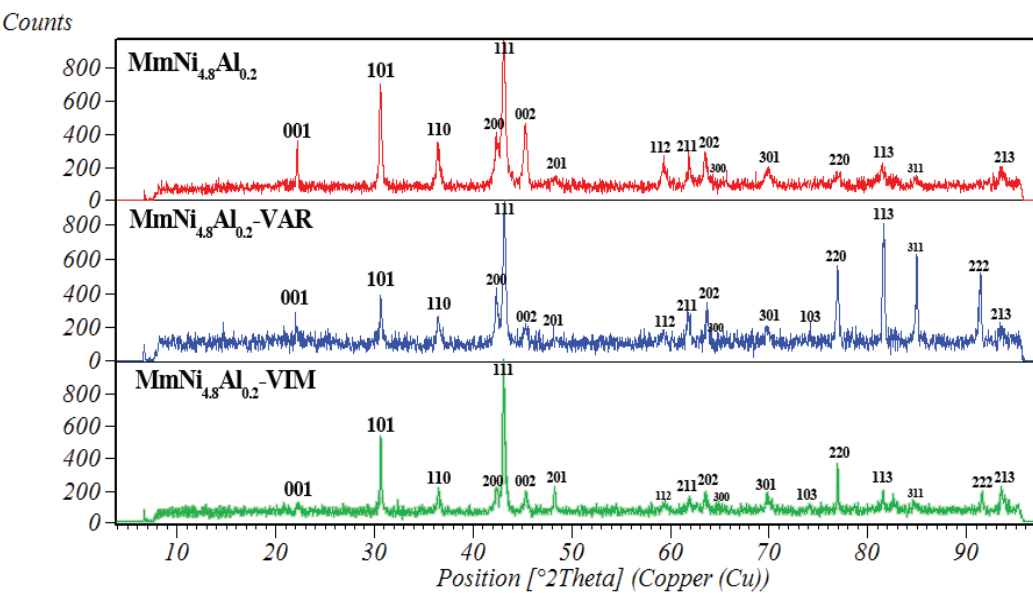
که در این رابطه،  $P_{des}$  و  $P_{abs}$  به ترتیب فشار جذب و واجدب هستند.

### ۳. نتایج و بحث

بررسی ریزساختار، ترکیب شیمیایی و آنالیز فازی ریزساختار آلیاژهای AI-VIM2، AI-VIM و AI-VAR در شکل ۱ نشان داده شده است. ریزساختار شامل فاز زمینه، فاز دوم در اثر جدایش Al، تخلخل و ترک است. میزان Al در فاز زمینه آلیاژهای AI-VIM2، AI-VIM و AI-VAR به ترتیب برابر ۷/۰، ۱۰ و ۱/۸ درصد وزنی است که نشان‌دهنده افزایش عنصر Al پس از ذوب مجدد VIM و VAR در فاز زمینه است. اگرچه در فرآیند آلیاژسازی هر سه آلیاژ مقدار Al برابر داشته‌اند اما در آلیاژ AI-VIM2 بیشتر وارد فاز زمینه شده است و در مکان‌های مرچ، Al با Ni جایگزین شده و در نتیجه مقدار فاز دوم را نیز کاهش داده است. لازم بذکر است که فاز دوم La در آلیاژهای AI-VIM و AI-VAR مقدار ناجیزی از عناصر Ce و CeLa1 را دارد. فاز دوم در ریزساختار آلیاژ AI-VIM2 در فاز زمینه حل شده و یا به مقدار بسیار ناجیزی کاهش یافته است. نتایج آنالیز خطی در شکل ۲ نیز موید این مطالب است. بهنظر می‌رسد این امر بهدلیل ذوب مجدد و سرمایش سریع حاصل شده است.

الگوی پراش سنجی اشعه ایکس برای نمونه‌های AI-VIM2، AI-VIM و AI-VAR در شکل ۳ نشان داده شده است. نتایج به دست آمده نشان می‌دهند که فاز غالب این ساختار فاز CeNi<sub>5</sub> است. قله‌های پراش به دست آمده متناظر با ساختار هگزاگونال نوع  $\epsilon$ -CeNi<sub>5</sub> (گروه فضایی ۶P/mmm) و شماره کارت استاندارد : ۹۳۹-۰۳۰-۰۶۵-۰۴۶ هستند. همچنین پیک مشخصه فاز دیگری در زمینه در شکل وجود ندارد که نشان می‌دهد که فاز ثانویه اگر تشکیل شده باشد مقدار آن کمتر از محدوده خطای آزمون پراش سنجی اشعه ایکس است. لازم بذکر است که آزمون پراش سنجی اشعه ایکس دارای ۲ الی ۵ درصد خطأ در تشخیص فازها می‌باشد [۱۴]. افزایش و

- 2. Pressure-composition- Temperature
- 3. Hysteresis Effect



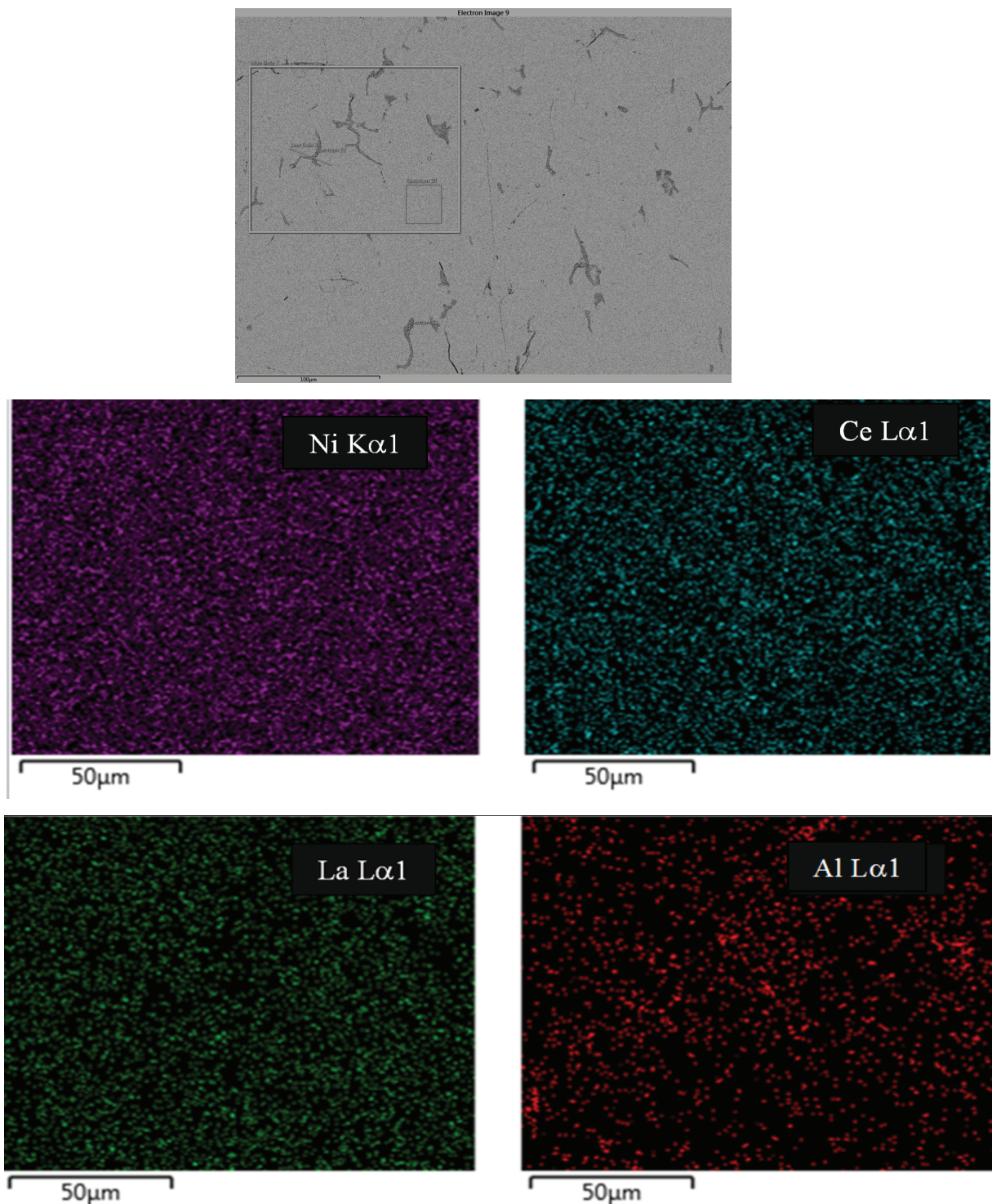
**شکل ۳.** الگوی پراش سنجی اشعه ایکس برای نمونه‌های Al-VIM، Al-VAR و Al-VIM2 قبل از جذب و واجدب هیدرروزن

تصاویر الکترون برگشتی SEM و نمونه‌های VIM-AL و AI-VIM2 که در شکل ۴، ۵ و ۶ نشان داده شده است؛ نتایج آنالیز خطی را تایید می‌نماید. با توجه به شکل ۴ و ۵، پس از ذوب مجدد آلیاژ  $MmNi_{4.8}Al_{0.2}$  به روش VAR و بدست آمدن آلیاژ AI-VAR، عنصر Al بیشتر در زمینه پخش گردیده است و نمونه همگن‌تر شده است.

با توجه به شکل ۴ و ۶ پس از ذوب مجدد آلیاژ  $\text{MmNi}_{4.8}\text{Al}_{0.2}$  به روش VIM و بدست آمدن آلیاژ AI-VIM2 عنصر AI بیشتر در زمینه و شبکه آلیاژ پخش گردیده است. انتظار می‌رود با افزایش عنصر AI در زمینه فشارهای جذب و واجذب و حداکثر ظرفیت ذخیره‌سازی هیدروژن کاهش یابد که در پخش، بعد بررسی، گردیده است.

# ذوب مجدد ویژگی‌های هیدروژنی آلیاژ $MmNi_{4.8}Al_{0.2}$

شکل ۷، نمودارهای PCT جذب و واجدب ترکیب‌های AI-VIM و AI-VIM2 را نشان می‌دهد و همچنین تنتایج ویژگی‌های هیدروژنی ترکیب‌ها در جدول ۲ آمده است. بعد از ذوب مجدد، آلیاز AI-VIM فشار جذب و واجدب و همچنین پسماند کمتری را نسبت به آلیاز AI-VIM به ثبت رسانده است، یعنی در فشار پایین‌تر مقدار هیدروژن بالاتری را نسبت به آلیاز AI-VIM جذب نموده است و به عبارتی اتم‌های هیدروژن بسیار راحت‌تر و در فشار کمتری وارد سلول واحد هیدرید می‌گردند. به نظر می‌رسد، اتم‌های Al بیشتری وارد سلول واحد AI-VAR شده‌اند. جایگزینی عنصر Al با Ni منجر به افزایش پارامترهای شکه و در نتیجه افزایش حجم

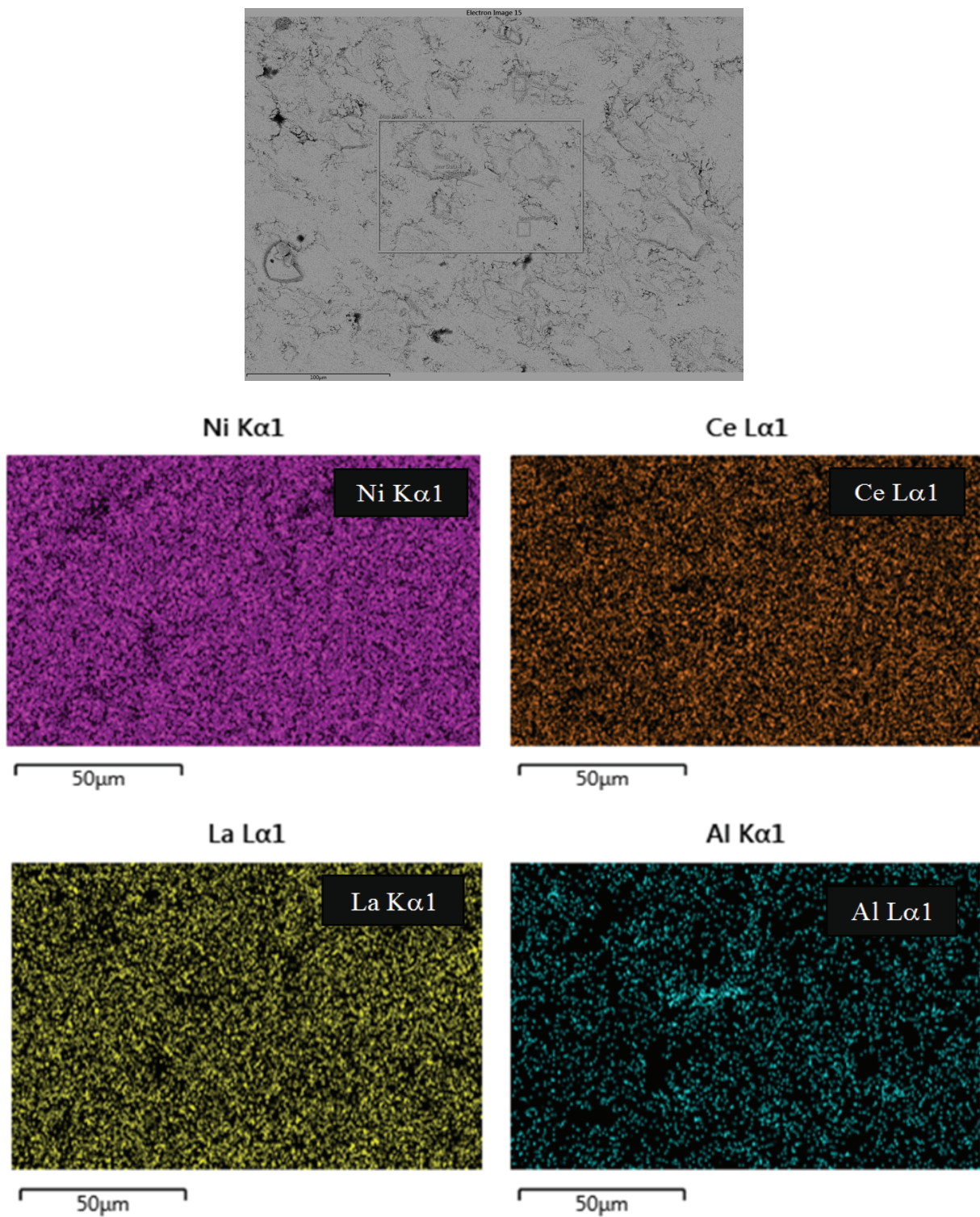


شکل ۴. تصویر الکترون برگشتی و MAP میکروسکوپ الکترونی روبشی آلیاژ  $MmNi_{4.8}Al_{0.2}$  ذوب شده به روش VIM

ناحیه فلاتی در منحنی PCT گردیده است. شیب نمودار جذب و واجدب، نشان‌دهندهٔ نسبت ظرفیت ذخیره‌سازی در منطقه میانی (بین  $0/5\text{ - }0/01$  مگا پاسکال) به کل ناحیه برگشت‌پذیر است. فاکتور شیب می‌تواند قسمت فلاتی نمودار را توضیح دهد، افزایش مقدار شیب به معنی عملکرد

جذب و واجدب برای آلیاژ  $MmNi_5$  در مرجع [۱۵] به ترتیب  $1/44\text{ wt}\%$ ،  $1/46\text{ bar}$  و  $1/5\text{ bar}$  بوده است.

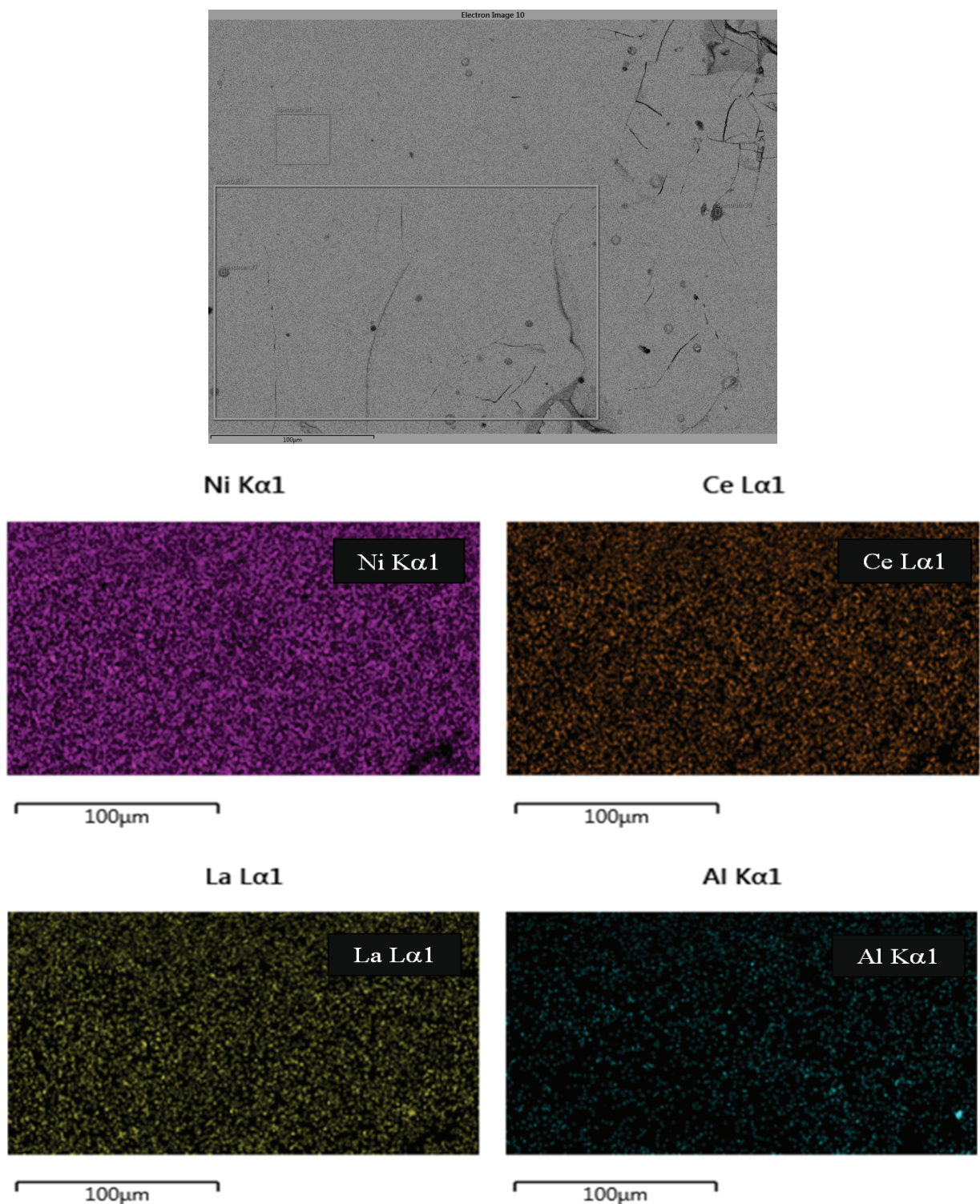
همه نمودارهای PCT در شکل ۷، مناطق سه منطقه فازی را نشان می‌دهند. همچنین با توجه به جدول ۳ و شکل ۷، ذوب مجدد هر دو روش VIM و VAR موجب کاهش شیب



شکل ۵. تصویر الکترون برگشتی و MAP میکروسکوپ الکترونی روشی آلیاژ MmNi<sub>4.8</sub>Al<sub>0.2</sub> ذوب مجدد شده به روش VAR

آلیاژ Al-VIM2 کمترین شیب را در نمودارهای واجذب نشان داده است. هیدروژن با فشار میانگین ۵/۴۹ از آلیاژ واجذب می‌گردد؛ اما به دلیل افزایش جذب و واجذب هیدروژن پسماند هم کمی افزایش داشته است و از ۱/۱۴

ضعیف جذب هیدروژن در ناحیه فلاتی است. پسماند و شیب توسط ترکیب همگن تحت تأثیر قرار می‌گیرند، ترکیب همگن، عملکرد ناحیه فلاتی در جذب هیدروژن را بهبود می‌بخشد [۲۰].



شکل ۶. تصویر الکترون برگشتی و MAP میکروسکوپ الکترونی روبشی آلیاژ  $MmNi_{4.8}Al_{0.2}$  ذوب مجدد شده به روش VAR

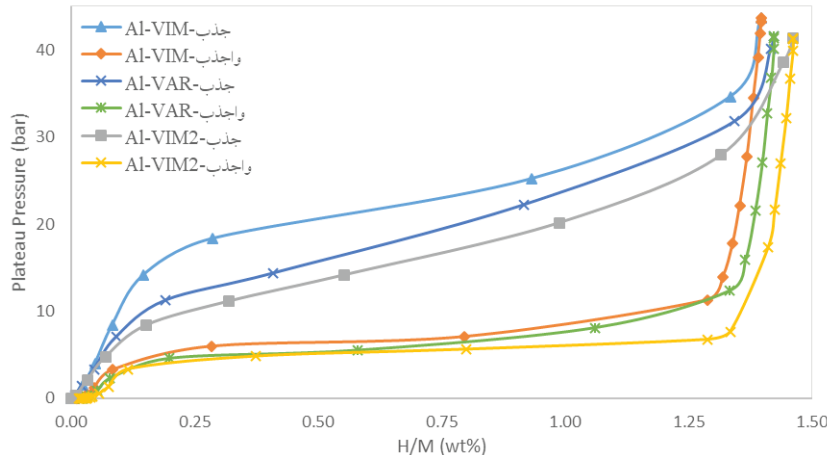
متفاوت منجر به ایجاد فاکتور شبیه می‌شود. همچنین تغییر شبیب ناشی از تاثیرات انرژی کرنشی است که از عوامل موثر بر فاکتور شبیب است. از دیگر دلایل کاهش شبیب، کاهش جدایش و افزایش همگنی آلیاژ ذوب مجدد شده در VIM به ۱/۱۹ رسیده است. (لازم به ذکر است که به دلیل خطای آزمایش می‌توان هیسترزیس را تقریباً ثابت در نظر گرفت.) مکان‌های مختلف در ساختار  $MmNi_5$ ، تمایل متفاوتی در ترکیب شدن با هیدروژن دارند. که در واقع این فضاهای

جدول ۲. فشار جذب و واجدب، اثر پسماند، حداکثر جذب، ترکیب  $MmNi_{4.8}Al_{0.2}$  در دمای ۲۵ درجه سانتی‌گراد

نام اختصاری	روش ذوب	حداکثر جذب % H/M wt	فشار جذب (bar)	پسماند	فشار واجدب (bar)
AI-VIM	VIM	۱/۴۰	۲۲/۸۶	۱/۱۴	۷/۲۸
AI-VAR	ذوب مجدد آلیاژ به روش AI-VIM	۱/۴۲	۲۱/۵۵	۱/۱۰	۷/۱۳
AI-VIM2	ذوب مجدد آلیاژ به روش AI-VIM	۱/۴۶	۱۸/۱۷	۱/۱۹	۵/۴۹

جدول ۳. شیب نمودارهای جذب و واجدب ترکیب‌های AI-VIM، AI-VAR و AI-VIM2 در ۲۵ درجه سانتی‌گراد.

آلیاژ	نام اختصاری	شیب نمودار جذب	شیب نمودار واجدب
$MmNi_{4.8}Al_{0.2}$	AI-VIM	۱۵/۰۵	۶/۸۴
$MmNi_{4.8}Al_{0.2}$	AI-VAR	۱۷/۶۵	۵/۹۶
$MmNi_{4.8}Al_{0.2}$	AI-VIM2	۱۳/۹۱	۳/۰۱


 شکل ۷. نمودارهای PCT جذب و واجدب آلیاژ  $MmNi_{4.8}Al_{0.2}$  ذوب و ذوب مجدد شده ترسیم شده در دمای ۵۲ درجه سانتی‌گراد.

از ساختار زمینه گردیده است بهنحوی که در ریزساختار فاز ثانویه قابل مشاهده نیست و همگنی خوبی را به جا گذاشته است، که بسیار مطلوب است. ذوب مجدد VAR نیز اثر مطلوبی در کاهش فشار جذب و واجدب از ۲۲/۸۶ bar و ۷/۲۸ bar به ۷/۱۳ bar و ۲۱/۵۵ bar ایجاد کرده و از ۵/۹۶ bar به ۱/۱۰ در VIM آنچه ایجاد نمی‌شود. اثراً ذوب مجدد VAR با افزایش هیدروژن نیز در آلیاژ نشان داده است. ظرفیت ذخیره‌سازی هیدروژن نیز در آلیاژ AI-VIM2 به ۱/۴۶ %wt مجدد می‌شود. در اینجا اثراً AI-VIM به ۱/۴۰ %wt مجدد می‌شود. تغییرات بسیار کم است ولی می‌توان بیشتر آلمینیوم به زمینه و افزایش حجم سلول واحد رخداده است که در مسیرهای نفوذ هیدروژن به ساختار تأثیر مثبت گذاشته و منجر به کاهش قابل توجه فشار جذب و واجدب شده است.

نسبت به دو آلیاژ دیگر است. هر چه آلیاژ همگن‌تر باشد، آلیاژ در فشار ثابت‌تری (بدون افزایش در شیب جذب و واجدب هیدروژن)، هیدروژن را جذب و واجدب می‌کند. چنانچه به نظر می‌رسد علت ایجاد پسماند در فلزات هیدریدی، کار پلاستیک برگشت ناپذیری است که در حین هیدرید شدن (جذب هیدروژن) مورد نیاز است تا به تغییرات حجمی کمک کند [۲۱]. کومار و همکارانش [۱۵] انرژی لازم برای تغییر حجم را متناسب با مدول برشی عنوان کرده است و چنین نتیجه گرفته که مدول برشی برای آلیاژهای فشار بالا بیشتر از آلیاژهای فشار پایین است.

در انتها می‌توان نتیجه گرفت که ذوب مجدد به روش VIM اگرچه باعث تلف شدن مقداری Al می‌گردد، ولی اثر مطلوبی در کاهش فشار جذب و واجدب از ۲۲/۸۶ bar به ۷/۱۳ bar و ۵/۹۶ bar به ۱/۱۰ در دمای ۵۲ درجه سانتی‌گراد می‌گذارد. ذوب مجدد موجب کاهش فاز ثانویه

فشار جذب و اخذب کمتر شده و ظرفیت ذخیره‌سازی به مقدار اندازی بیشتر می‌گردد.

۳- ذوب مجدد به روش‌های VIM و VAR تاثیر قابل توجهی در افزایش ظرفیت ذخیره‌سازی ترکیب هیدریدی  $MmNi_{4.8}Al_{0.2}$  ندارد.

۴- ذوب مجدد VIM اثرات بهتری را از نظر کاهش فشار جذب و اخذب و شیب ناحیه‌ی فلاتی نسبت به ذوب مجدد VAR نشان داده است به طوریکه شیب ناحیه فلاتی از  $6/۸۴$  در آلیاژ Al-VIM2 به  $۱/۰۰$  در آلیاژ AI-VIM2 کاهش یافته است.

#### ۴. نتیجه‌گیری

نتایج بدست آمده از این پژوهش به صورت زیر خلاصه می‌گردد:

۱- ذوب مجدد به روش‌های VIM و VAR موجب همگنی بیشتر ترکیب هیدریدی  $MmNi_{4.8}Al_{0.2}$  می‌شود.

۲- فشار جذب در آلیاژ اولیه از مقدار  $۲۲/۸۶$  bar به  $۲۱/۵۵$  bar در آلیاژ ذوب مجدد شده به روش VAR و  $۱۸/۱۷$  bar در آلیاژ ذوب مجدد شده به روش VIM کاهش یافته است. همچنین فشار و اخذب نیز به ترتیب از  $۵/۴۹$  bar به  $۷/۲۸$  bar و  $۷/۱۳$  bar به  $۵/۴۹$  bar کاهش پیدا کرده است. با همگنی بیشتر و کاهش میزان فاز دوم،

#### References

- [1] Kazakov A, Blinov D, Romanov I, Dunikov D and Borzenko V. Metal hydride technologies for renewable energy, E3S Web of Conference 2019; 114: 5005-5012
- [2] Colbe J B, Ares J R, Barale J, Baricco M, Buckley C, Capurso G and et. al. Application of hydrides in hydrogen storage and compression: Achievements, outlook and perspectives, international journal of hydrogen Energy 2019; 44: 7780-7808
- [3] Todorova St, Rangelova V, Mihaylov L and Spassov T. Effect of hydrogen induced decrepitation on the hydrogen sorption properties of  $MmNi_5$ , International journal of electrochemical science 2020; 15: 4900-4907.
- [4] Yang F S, Chen X Y, Wu Z, Wang S M, Wang G X, Zhang Z X and Wang Y Q. Experimental Studies on The Poisoning Properties of a Low-Plateau Hydrogen Storage Alloy  $LaNi_4.3Al_0.7$  Against CO impurities, International Journal of Hydrogen Energy 2017; 42: 16225-16234
- [5] Uchida H and Kuji T. Hydrogen solubility in rare earth based hydrogen storage alloys. International Journal of Hydrogen Energy 1999; 249: 871-877
- [6] Kazemipour M, Salimjazi H, Saidi A, Saatchi A, Mostaghimi J and Pershin L. The electrochemical hydrogen storage properties of  $Ti_{0.7}Zr_{0.2}Mn_{1.6}V_{0.4}$  alloy synthesized by vacuum plasma spraying and vacuum copper boat induction melting: A comparative study, International Journal of Hydrogen Energy 2015; 40, 15569- 15577
- [7] Sims C T, Stoloff N S, and Hagel W C, Superalloy II, John Wiley & Sons, New York, 1987
- [8] Kondo M, Asano K, Iijima Y. Effect of nickel addition and microstructure on absorption and desorption behavior of hydrogen in  $LaNi_5$ , Journal of Alloys and Compounds 2005; 393: 269-273
- [9] Young K, Fetcerko M, Li F, and Ouchi T, Structural, thermodynamic, and electrochemical properties of  $TixZr_{1-x}(VNiCrMnCoAl)_2$  C14 Laves phase alloys, Journal of Alloys and Compounds 2008; 464: 238-247
- [10] yuan X. Study of Hydrogen diffusion behaviour in AB5 hydrogen storage alloy electrode, Int. J. of Hydrogen energy 2004; 39: 16006-16014
- [11] Zhang Y, Hou Z, Cai Y, Hu F, Qi Y and Zhao D. Electrochemical hydrogen storage behavior of as-cast and as-spun RE-Mg-Ni-Mn based alloys applied to Ni-MH battery 2016; 107: 824-834
- [12] Millet P. Advances in Hydrogen Production, Storage and Distribution, Elsevier 2014; 1st ed: 368
- [13] King H W, Payzant E A, Error corrections for X-Ray powder diffractometry, Canadian Metallurgical Quarterly 2000; 40: 385-394
- [14] Kumar E A, Maiya M P, Murthy S S and Viswanathan B, Structural, hydrogen storage and thermodynamic properties of some mischmetal-nickel alloys with partial substitutions for nickel. Journal of Alloys and Compounds 2009; 476: 92-97
- [15] Briki C and Jemni A, Measument of expansion of  $LaNi_5$  compacted powder during hydrogen absorbtion/desorbtion cycles and their influences on the reactor wall, international journal of hydrogen Energy 2019; 44: 13647-13654
- [16] Sharma V K and Anil Kumar E, Metal hydrides for energy applications – classification, PCI characterisation and simulation. International Journal of Energy Research 2017; 417: 901-923.
- [17] Percheron-Guégan A, Lartigue C, Achard J, Germi P and Tasset F. Neutron and X-ray diffraction profile analyses and structure of  $LaNi_5$ ,  $LaNi_{5-x}Al_x$  and  $LaNi_{5-x}Mn_x$  intermetallics and their hydrides (deuterides). Journal of the Less Common Metals 1980; 741: 1-12
- [18] Lundin C, Lynch F and Magee C. A correlation between the interstitial hole sizes in intermetallic compounds and the thermodynamic properties of the hydrides formed from those compounds. Journal of the Less Common Metals 1977; 561: 19-37
- [19] Casini J C S, Effect of Sn substitution for Co on microstructure and electrochemical performance of AB5 type  $La_{0.7}Mg_{0.3}Al_{0.3}Mn_{0.4}Co_{0.5-x}Sn_xNi_{3.8}$  ( $x=0-0.5$ ) alloys. Transactions of Nonferrous Metals Society of China 2015; 25: 520-526.
- [20] Flanagan T B, Park C and Everett D, Hysteresis in metal hydrides: An illustration of entropy production. Journal of Chemical Education 1987; 944: 6411-6417.